

# Реферат

В работе было рассматривается математическая модель гликолитического осциллятора Хиггинса, показаны некоторые детерминированные и стохастические свойства. Были выявлены значения параметров системы, для которых характерны индуцированные шумом смешанные осцилляции, в результате последовательности экспериментов сделаны выводы о поведении осцилляций, обнаружена область больших значений функции стохастической чувствительности, в которой система чувствительна к малым шумам, проведено исследование стохастической устойчивости траекторий системы. Работа содержит описание методов проведения численных экспериментов, и анализ их результатов.

# Содержание

<b>1</b>	<b>Обозначения и сокращения</b>	<b>3</b>
<b>2</b>	<b>Введение</b>	<b>4</b>
<b>3</b>	<b>Основная часть</b>	<b>6</b>
3.1	Обзор литературы . . . . .	6
3.2	Постановка задачи работы . . . . .	7
3.3	Методика проведения наблюдений и измерений . . . . .	8
3.3.1	Описание модели . . . . .	8
3.3.2	Детерминированные свойства модели . . . . .	8
3.3.3	Стохастические свойства модели . . . . .	13
3.4	Результаты и их обсуждение . . . . .	14
<b>4</b>	<b>Заключение</b>	<b>15</b>

# 1 Обозначения и сокращения

а

## 2 Введение

Построение и анализ математических моделей являются важными инструментами научного исследования различных явлений, в том числе физических и химических. В настоящее время существует возможность эффективно применять методы исследования моделей, опирающиеся на применение компьютерных технологий для постановки численных экспериментов и обработки их результатов. В частности представляет интерес исследование с помощью таких методов моделей химических процессов, каковой является и гликолитический осциллятор Хиггинса. Эта модель описывает колебательную биохимическую реакцию, в процессе которой осуществляется распад глюкозы и образование новых соединений.[ПОЧТИ ЦИТАТА <http://library.biophys.msu.ru/LectMB/lect08.htm> Г.Ю.Ризниченко. Лекции по математическим моделям в биологии] Этот процесс имеет большое значение для понимания процессов, происходящих в различных биологических системах, например в клетках живого организма, потому что в значительной мере он определяет энергетические процессы в клетке. Также гликолиз исследуется с медицинской точки зрения, так как по энергопотреблению клеток организма можно делать выводы о здоровье или патологических изменениях этих клеток.

Впервые модель гликолиза в том виде, в котором она исследуется в данной работе была предложена Хиггинсом (Higgins) в 1964 году. В пункте ПУНКТ исследуются детерминированные свойства системы. В пункте ПУНКТ изучаются стохастические свойства, особенный интерес здесь представляет устойчивость предельных циклов и их чувствительность к малым случайным возмущениям, потому что эти характеристики в значительной мере характеризует протекание процесса, описываемого моделью, в естественной среде. ЧТО-ТО ПРО СМЕШАННЫЕ ОСЦИЛЛЯЦИИ, ИНДУЦИРОВАННЫЕ ШУМОМ. ЧТО-ТО ПРО ФСЧ

КАКАЯ-ТО СВЯЗЬ С ПРЕДЫДУЩИМИ ИССЛЕДОВАНИЯМИ

## 3 Основная часть

### 3.1 Обзор литературы

нет

## 3.2 Постановка задачи работы

СЛОЖНО

### 3.3 Методика проведения наблюдений и измерений

#### 3.3.1 Описание модели

Модель гликолитического осциллятора Хиггинса описывается следующей системой нелинейных дифференциальных уравнений:

$$\begin{cases} \dot{x} = 1 - xy; \\ \dot{y} = py \left( x - \frac{1+q}{q+y} \right); \\ p > 0; \\ q > 0; \end{cases} \quad (1)$$

В определении системы фигурируют параметры  $p$  и  $q$ , которые являются действительными коэффициентами, не зависящими от каких-либо переменных. Ограничения на неотрицательность параметров возникают из физического смысла описываемого моделью процесса.

#### 3.3.2 Детерминированные свойства модели

##### Свойства системы первого приближения

Для исследования детерминированных свойств модели воспользуемся теоремой Гробмана-Хартмана, утверждающей, что в окрестности неподвижной точки поведение исследуемой системы совпадает с поведением ее линеаризации. Из этого следует, что в некоторой окрестности неподвижной точки фазовый портрет системы (1) совпадает с портретом линеаризованной системы, в случае, если система (1) имела портрет типа «узел», «фокус» или «седло». Вычислим точку покоя для исследуемой модели из условий равенства нулю производных:

$$\begin{cases} 1 - xy = 0; \\ py \left( x - \frac{1+q}{q+y} \right) = 0; \end{cases}$$



При действующих ограничениях на  $p$  и  $q$  получаем, что единственной точкой покоя является точка  $(1,1)$  при любых допустимых значениях  $p$  и  $q$ . Вычислим также линеаризованную систему в точке покоя:

$$\begin{cases} \dot{x} = -(x-1) - (y-1); \\ \dot{y} = p(x-1) + p\left(1 - \frac{q}{1+q}\right)(y-1); \end{cases}$$

Сделав замену  $\tilde{x} = x - 1$ ,  $\tilde{y} = y - 1$  получаем:

$$\begin{cases} \dot{\tilde{x}} = -\tilde{x} - \tilde{y}; \\ \dot{\tilde{y}} = p\tilde{x} + p\left(1 - \frac{q}{1+q}\right)\tilde{y}; \end{cases} \quad (2)$$

Тип фазового портрета определяется собственными числами матрицы системы первого приближения. В нашем случае это система (2) и её характеристическое уравнение имеет вид:

$$(-1 - \lambda) \left( p \left( 1 - \frac{q}{1+q} \right) - \lambda \right) + p = 0$$

Его корни, собственные числа матрицы системы (2), соответственно, имеют вид:

$$\lambda_1 = SAS; \lambda_2 = KEK$$

Так как собственные числа явно зависят от  $p$  и  $q$ , найдем зависимость типа фазового портрета от значений параметров  $p$  и  $q$ , больших нуля, и отобразим результат на бифуркационной диаграмме (см. рисунок 3.1).

Нумерованные области между кривыми, изображенными на рисунке 3.1 соответствуют определенным типам фазовых портретов при значениях  $p$  и  $q$  таких, что точка  $(p,q)$  принадлежит данной области. Примеры каждого типа фазовых портретов системы приведены ниже (см. рисунки 3.2-3.5).

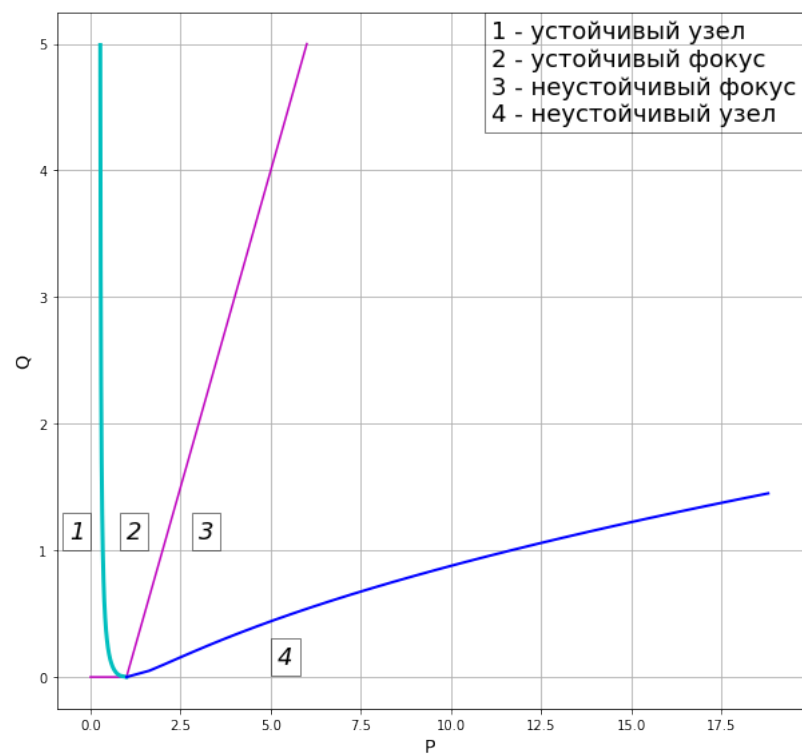


Рисунок 3.1 - бифуркационная диаграмма

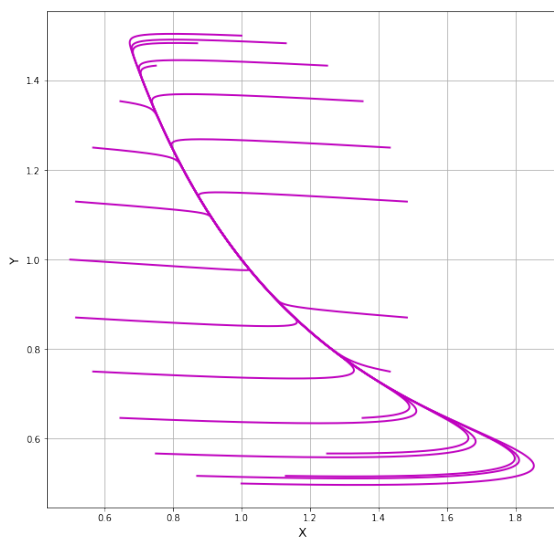


Рисунок 3.2 - устойчивый узел,  
 $p=0.05$ ,  $q=1$

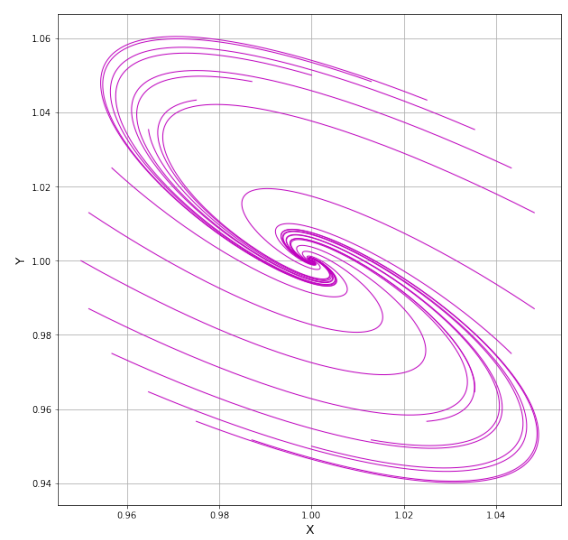


Рисунок 3.3 - устойчивый фокус,  
 $p=0.7$ ,  $q=1$

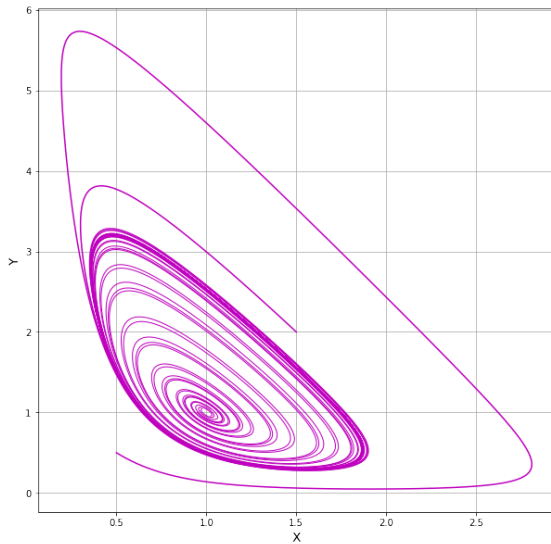


Рисунок 3.4 - неустойчивый фокус,  $p=2.5$ ,  $q=1$

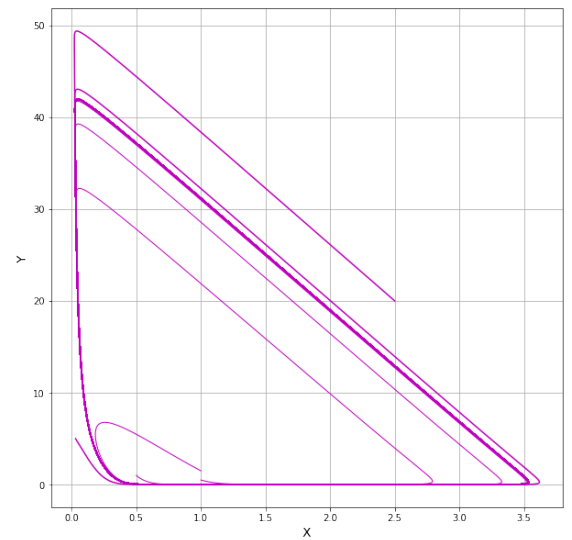


Рисунок 3.5 - неустойчивый узел,  $p=12.5$ ,  $q=1$

### Свойства предельных циклов

Точка  $\tilde{x}$  фазовой плоскости называется предельной точкой траектории  $X = \varphi(t)$ , если существует последовательность  $t_n \rightarrow +\infty$ , либо  $t_n \rightarrow -\infty$  такая, что  $\varphi(t_n) \rightarrow \tilde{x}$ . Предельным множеством траектории называется множество всех её предельных точек. Предельный цикл - это замкнутое (периодическое) решение системы, представляющее собой предельное множество ее траекторий. Для случая фазовой плоскости известно (Т. ПУАНКАРЕ-БЕНДИКСОНА?), что предельное множество любой траектории(НУЖНО ЛИ ГОВОРИТЬ ПРО ГЛАДКОСТЬ?) представляет собой либо точку покоя, либо предельный цикл, либо предельный полицикл. В нашем случае предельный полицикл невозможен ввиду единственности точки покоя. В случае, когда фазовый портрет системы (2) неустойчив, на фазовой плоскости присутствуют предельные циклы, что видно уже из рисунков 3.4 и 3.5.

Для численного поиска предельных циклов с заданной степенью точности применим следующий алгоритм. Рассмотрим на фазовой плоскости прямую, проходящую через точку покоя параллельно, без ограничения

общности, оси  $OY$ . Рассмотрим траекторию, выходящую из какой-либо точки, не являющейся точкой покоя. В силу вышесказанного, при наличии предельного цикла эта траектория будет стремиться к нему либо в прямом, либо в обратном времени, а значит, в силу того, что точка покоя находится внутри цикла (КАКАЯ-ТО ТЕОРЕМА?) бесконечное число раз пересечет нашу прямую. В силу стационарности векторного поля, траектория системы, не являющаяся предельным циклом, не имеет самопересечений, значит, начиная с некоторого момента, каждое следующее пересечение траекторией вертикальной прямой будет ближе к предельному циклу чем предыдущее. Когда расстояние между соседними (по времени) пересечениями становится меньше некоторого наперед заданного положительного числа  $\varepsilon$ , мы говорим, что часть траектории, заключённая между этими двумя точками, представляет собой предельный цикл с точностью  $\varepsilon$ .

Предельные циклы являются аттракторами системы и вопрос об их устойчивости весьма важен с точки зрения описания поведения моделируемого объекта. Для исследования устойчивости предельных циклов построим матрицу монодромии. Это, в случае системы (2), квадратная матрица размера 2, составленная из двух вектор-столбцов, представляющих собой фундаментальную систему решений векторного уравнения системы первого приближения:

$$\dot{z} = Fz$$

$F$  - матрица Якоби системы (1).  $F$  периодична на предельном цикле с некоторым периодом  $T$ , так как предельный цикл есть замкнутая траектория. Указанную задачу можно решить численно, найдя цикл с некоторой точностью и решая, также численно, систему первого приближения вдоль него одношаговым методом, взяв в качестве начальных условий линейно независимые векторы  $[0,1]$  и  $[1,0]$ .

Оценим корректность полученного решения, а также устойчивость пре-

дельного цикла с помощью теоремы Андронова-Хопфа. Она говорит, что одно из собственных чисел матрицы монодромии должно быть равно единице, а второе число, называемое мультипликатором, определяет устойчивость цикла. В случае, если второе число по модулю меньше 1, цикл устойчив.

В результате решения системы первого приближения методом Эйлера, для различных значений параметра  $p$ , при  $q = 1$ , первое собственное число матрицы монодромии равнялось 1 с точностью до 0.01 для любого  $p$ . Динамика изменения мультипликатора говорит о том, что предельные циклы устойчивы, причем при удалении параметра  $p$  от значения, для которого характерен фазовый портрет типа «центр» циклы становятся все более устойчивыми (см. рисунок 3.6).

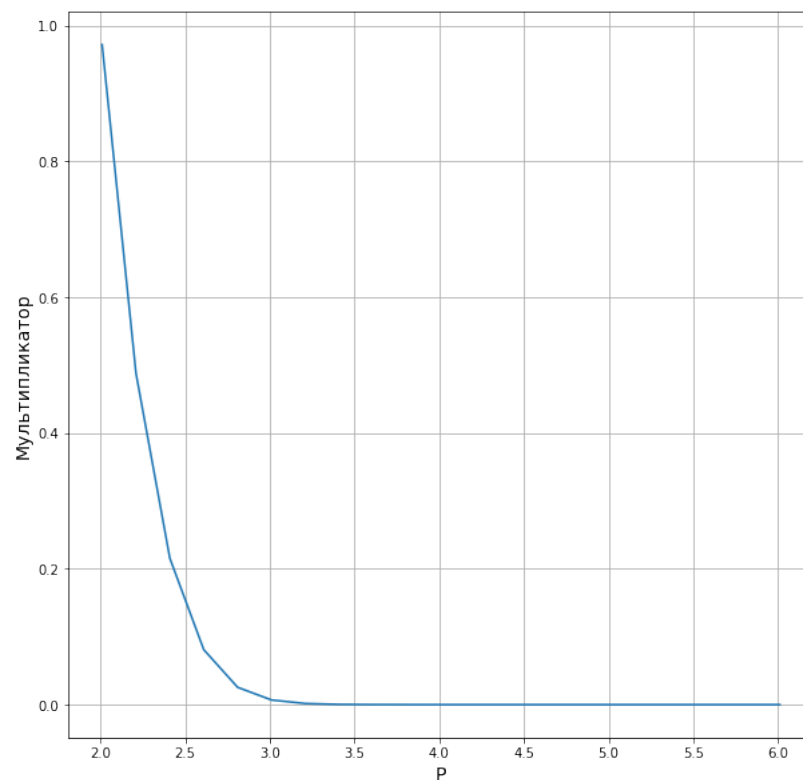


Рисунок 3.6 - график мультипликатора

### 3.3.3 Стохастические свойства модели

### 3.4 Результаты и их обсуждение

## 4 Заключение